



СТАТИСТИЧЕСКИЙ АНАЛИЗ КОРРОЗИОННОЙ СТОЙКОСТИ ХРОМОНИКЕЛЕВОГО НАПЛАВЛЕННОГО МЕТАЛЛА В ЩЕЛОЧНЫХ РАСТВОРАХ

П. П. ЛАЗЕБНОВ, канд. техн. наук (Запорож. гос. техн. ун-т)

Приведены результаты сравнительных коррозионных испытаний хромоникелевого наплавленного металла в щелочных растворах. Выполнены корреляционный и регрессионный анализы, позволяющие исследовать связь между входными (δ -феррит в сварных швах) и выходными (скорость коррозии металла) параметрами.

Ключевые слова: регрессионный и корреляционный анализы, наплавленный металл, скорость коррозии, гидроксид натрия, варочный щелок, корреляция

Оборудование химической промышленности подвержено процессам коррозии. В одних случаях эти процессы приводят к равномерному разрушению сталей и сплавов, в других — к коррозионному растрескиванию и иным видам коррозии конструкций, которые эксплуатируются в контакте с агрессивными средами. Так, в 1980 г. на целлюлозно-бумажном комбинате «Мак-Миллан Блодел» (США) взорвался варочный котел «Камюр» производительностью 1100 т/сут вследствие коррозионного разрушения стыкового сварного соединения верхней конической части с цилиндром сосуда [1]. После трехлетнего обследования работы котлов непрерывной варки сульфат-целлюлозных заводов США на международном конгрессе в Торонто (Канада) были обобщены полученные результаты [2, 3] и сделаны следующие выводы.

Из 107 аппаратов более чем у 40 в пропиточной зоне, расположенной в металле корпусов в сварных соединениях, были обнаружены трещины. Они имели место преимущественно в сварных соединениях сосудов, изготовленных из углеродистых и би-

металлических сталей, а также плакированных сплавом Инконель.

Появление трещин наблюдается в конструкциях, прошедших термическую обработку и без нее. Котлы с полной обработкой менее склонны к коррозионному растрескиванию, чем аппараты с локальной «нормализацией» сварных соединений.

У всех котлов коррозионные процессы провоцирует основной компонент варочного щелока — NaOH.

Промышленные растворы, в которых ведется варка сульфатной целлюлозы, являются сложными системами. В табл. 1 приведена характеристика используемых щелоков.

При конструктивном оснащении технологических комплексов целлюлозно-бумажной промышленности (ЦБП) многие десятилетия успешно применяли хромоникелевые стали (варочные котлы фирм «Камюр», «Пандия», KMW, пропарочные башни и т. д.). Исходя из технико-экономических задач сосуды изготавливают из биметаллического листового проката. Биметалл имеет основной слой (котельные стали типа 17Mn4 и аналоги сталей 20K, 22K), плакированный коррозионностойкими сталью типов 10X18H10T, 08X17H15M2T. Анализ состояния парка котлов показал, что в результате дли-

Таблица 1. Состав белых щелоков

Сульфатные заводы	Концентрация веществ в растворе C , г/л						
	NaOH	Na ₂ S	Na ₂ CO ₃	Na ₂ SO ₄	NaCl	Na ₂ S ₂ O ₃	Na ₂ SO ₃
СНГ	75,0...90,0	11,0...35,0	10,0...11,0	0,9...2,8	0,2	2,0...5,0	0,20
Канада [4]	≤ 95,2	39,2	26,6	6,5	6,5	5,2	0,99

Таблица 2. Однофакторное влияние анионов белого сульфатного щелока на скорость коррозии K стали 10X18H10T [5]

C , г/л	K , мм/год	Na ₂ SO ₄		Na ₂ S ₂ O ₃		Na ₂ SO ₃	
		C , г/л	K , мм/год	C , г/л	K , мм/год	C , г/л	K , мм/год
—	0,063	2,7	0,064	2,0	0,067	0,1	0,065
0,2	0,084	4,0	0,046	3,0	0,069	0,5	0,066
0,5	0,122	5,0	0,045	4,0	0,068	1,0	0,066
1,0	0,176	6,0	0,043	5,0	0,067	2,0	0,068
1,5	0,192	7,0	0,040	7,0	0,232	3,0	0,069
2,0	0,209	8,0	0,039	8,0	0,235	4,0	0,070

Примечание. Образцы испытывали при температуре 100 °C в модельном растворе щелока, г/л: NaOH — 86,40; Na₂S — 30,40; Na₂SO₄ — 2,70; Na₂S₂O₃ — 2,00; Na₂CO₃ — 1,00; Na₂SO₃ — 0,09.



НАУЧНО-ТЕХНИЧЕСКИЙ РАЗДЕЛ

Таблица 3. Коррозионная стойкость хромоникелевого наплавленного металла

Номер образца	Марка сварочного электрода	Тип наплавленного металла	Массовое содержание δ-феррита, %	Скорость коррозии при испытаниях, г/(м ² ·ч), +		
				натуальных K_1		лабораторных K_2
				x	y_1	y_2
1-3	ОЗЛ-8	07Х20Н9	6,9; 7,0; 7,2	0,0209; 0,0212; 0,0220	0,0589; 0,0611; 0,0623	
4-6	ЦЛ-11	08Х20Н10Г2	6,2; 6,4; 6,4	0,0106; 0,0108; 0,0113	0,0544; 0,0560; 0,0570	
7-9	ЗИО-3	07Х19Н10Г2Б	5,8; 6,0; 6,1	0,0170; 0,0173; 0,0182	0,0485; 0,0492; 0,0499	
10-12	НИАТ-1	08Х19Н11М2Г2	5,7; 5,8; 6,0	0,0124; 0,0128; 0,0135	0,0836; 0,0864; 0,0884	
13-15	НЖ-13	08Х19Н10М2Б	5,3; 5,4; 5,6	0,0112; 0,0119; 0,0124	0,0800; 0,0814; 0,0824	
16-18	ЭА-400/10у	07Х19Н11М3Г2Ф	4,8; 5,0; 5,1	0,0115; 0,0119; 0,0123	0,0642; 0,0669; 0,0681	
19-21	ОЗЛ-6	10Х25Н13Г2	3,9; 4,0; 4,2	0,0092; 0,0094; 0,0096	0,0549; 0,0575; 0,0589	
22-24	ЭА-395/9	11Х15Н25М6Г2	—	0,0050; 0,0051; 0,0055	0,0110; 0,0115; 0,0120	
25-27	ЭА-981/15	09Х15Н25М6Г2Ф	—	0,0052; 0,0057; 0,0059	0,0117; 0,0125; 0,0129	
28-30	Опытный	09Х20Н10 (0,01 % Y)	2,9; 3,0; 3,1	0,0096; 0,0103; 0,0107	0,0357; 0,0347; 0,0332	
31-33	»	07Х20Н10 (0,02 % Y)	1,5; 1,6; 1,7	0,0052; 0,0053; 0,0057	0,0133; 0,0135; 0,0146	
34-35	»	08Х20Н10 (0,027 % Y)	1,8; 1,9; 2,3	0,0067; 0,0073; 0,0076	0,0236; 0,0243; 0,0246	
36-38	OKR.6 (Швеция)	06Х19Н9М3	2,8; 2,9; 3,3	0,0108; 0,0111; 0,0117	0,0552; 0,0566; 0,0592	
39-42	832MVR (Швеция)	04Х21Н10Г2	1,9; 1,9; 2,2	0,0092; 0,0098; 0,0101	0,0517; 0,0520; 0,0542	

Примечания. 1. Натурные испытания котла «Камю» проводили при 120...170 °C и давлении 1,2 МПа в варочном щелоке в течение 15100 ч. 2. Лабораторные испытания автоклава проводили при 130 °C и давлении 0,2 МПа в 30-%ном растворе NaOH в течение 240 ч.

тельной эксплуатации защитный слой аппаратов претерпел значительное коррозионное воздействие.

Большую роль в борьбе с коррозией играет изучение коррозионноактивных и ингибирующих ингредиентов сульфатного щелока. Установлено, что карбонат- и силикат-ионы оказывают ингибирующее, а хлорид-, сульфит- и сульфат-ионы активизирующее воздействие на процессы коррозии. Как следует из работы [5], хлорид натрия NaCl и тиосульфат натрия Na₂S₂O₃ способствуют зарождению питтинговой коррозии в нержавеющих стальях, сульфат натрия Na₂SO₄ заметно ее тормозит, а сульфит натрия Na₂SO₃ является нейтральным (табл. 2).

Коррозионное воздействие сульфатного щелока на стали 10Х18Н10Т и 10Х17Н13М2Т возрастает с повышением температуры (достигая максимума при 130..160 °C), в зависимости от концентрации активной щелочи и уменьшается в результате разбавления черным щелоком (согласно технологическим регламентам сульфат-целлюлозных заводов).

При изучении стойкости хромоникелевых металлов различных систем легирования против общей коррозии в гидроксиде натрия и промышленном белом щелоке (NaOH — 35...60; Na₂S — 15; Na₂CO₃ — 11; Na₂S₂O₃ и Na₂SO₄ — 0,2 г/л) котла «Камю» на Архангельском целлюлозно-бумажном комбинате прослеживается идентичная закономерность скорости коррозии от температуры, отличающаяся лишь количественными показателями. С целью подтверждения правомерности использования NaOH для ускорения испытаний растворов при разработке сварочных материалов, применяемых в щелочных средах ЦБП проведена статистическая обработка данных коррозионной стойкости образцов в лабораторных и натуральных условиях (табл. 3). Методы корреляционного и регрессионного анализов позволяют исследовать связь между входными и выходными параметрами. Зачастую характеристиками тесноты связи между двумя случайными ве-

личинами является коэффициент корреляции r_{yx} (в случае линейной связи) [6, 7]. При достаточной близости распределения исследуемых переменных x , y к нормальному закону r_{yx} является характеристикой степени тесноты взаимосвязи. Данной ситуации присуща линейная связь (вероятность построения в корреляционном поле гипотетической линии регрессии).

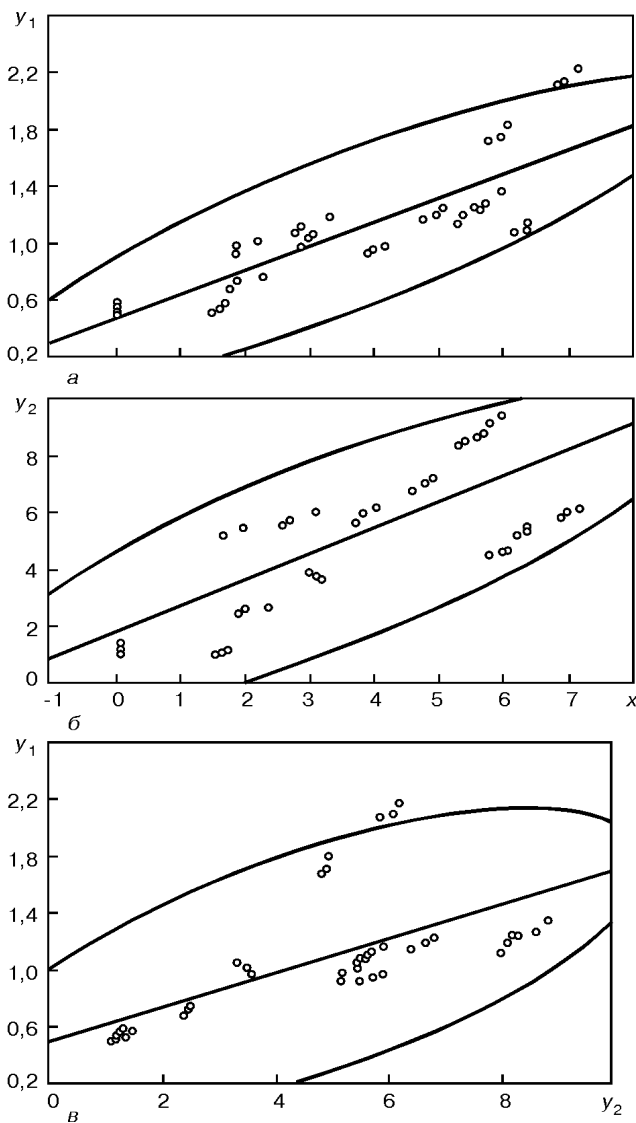
Был выполнен регрессионный анализ серии экспериментов (табл. 3) при входном параметре x (массовая доля δ-феррита, %) и выходных параметрах y_1 , y_2 (скорость коррозии при натуральных K_1 и лабораторных K_2 испытаниях). На основе данных таблицы произведена статистическая обработка результатов. Предварительно была выполнена графическая парная корреляция двух случаев $y_1:x$ и $y_2:x$, позволившая установить наличие корреляционных связей между y_1 , y_2 и x , а также ее форму. Согласно данным табл. 3, по координатам $y_1:x$ и $y_2:x$ строятся точки, совокупность которых образует корреляционное поле (рисунок, *a*, *b*). На основании этого высказана гипотеза о том, что между исследуемыми параметрами существует линейная связь, а значит, линии регрессии прямые.

Исходные данные для регрессионного анализа приведены ниже (суммирование по результатам 42 опытов):

$$\sum x = 155,0; \sum y_1 = 47,83; \sum y_2 = 204,44; \sum xy_1 = 211,20; \sum x^2 = 784,50; \sum y_1^2 = 64,58; \sum xy_2 = 933,70; \sum y_2^2 = 1225,50.$$

С помощью этих данных определяются коэффициенты корреляции между параметрами $y_1:x$ и $y_2:x$ по формулам [7]

$$r_1 = \frac{n \sum xy_1 - \sum x \sum y_1}{\sqrt{n} \sum x^2 - (\sum x)^2 \sqrt{n} \sum y_1^2 - (\sum y_1)^2} = 0,84; \quad (1)$$



Регрессионный и корреляционный анализы результатов экспериментов: *a* — натурные испытания образцов наплавленного металла в варочном щелоке и гидроксиде натрия ($y_1 = 0,165x + 0,462$); *б* — то же лабораторные ($y_2 = 0,852x + 1,617$); *в* — корреляционная зависимость $y_1 = f(y_2)$ ($y_1 = 0,119y_2 + 0,509$)

$$r_2 = \frac{n \sum xy_2 - \sum x \sum y_2}{\sqrt{n} \sum x^2 - (\sum x)^2 \sqrt{n} \sum y_2^2 - (\sum y_2)^2} = 0,79. \quad (2)$$

Значения r_1 и r_2 находятся в интервале $0,7 \leq r \leq 0,9$, что характеризует условие сильной взаимосвязи между двумя случайными параметрами. Зависимость $y_1 = f(x)$ представлена уравнением

$$y_1 = a_1 x + b_1, \quad (3)$$

коэффициент которого определялся методом наименьших квадратов [7]. Подставив численные значения переменных из данных для регрессионного анализа, получим систему нормальных уравнений. После ее решения найдем коэффициенты a_1 и b_1 :

$$\begin{cases} (\sum x)a_1 + nb_1 = \sum y_1, & a_1 = 0,165; \\ (\sum x^2)a_1 + (\sum x)b_1 = \sum xy_1, & b_1 = 0,462 \end{cases} \quad (4)$$

Уравнение линии регрессии (3) примет вид

Таблица 4. Результаты корреляционного и регрессионного анализа параметров $y_1:x$; $y_2:x$; $y_1:y_2$ *

Показатель	Численное значение		
	x	y_1	y_2
Доверительная вероятность P	0,95	0,95	0,95
Коэффициент корреляции:			
r_1	—	0,84	—
r_2	—	—	0,79
Интервал для сильной связи:			
табличный	[0,7; 0,9]		
расчетный	[0,79; 0,84]		
Математическое ожидание M (среднеарифметическое)	3,66	1,07	4,73
Граница интервала:			
нижняя (-0,95)	2,95	0,94	3,99
верхняя (+0,95)	4,37	1,21	5,48
Значение параметра на границе доверительного интервала:			
максимальное	7,20	2,20	8,84
минимальное	0	0,50	1,10
Размах	7,20	1,70	7,74
Дисперсия S	5,21	0,20	5,74
Стандартное отклонение $\sigma_{y/x}$ (среднеквадратичное)	2,28	0,44	2,40
Уравнения регрессии:			
$y_1 = f(x)$	$y_1 = 0,165x + 0,462$		
$y_2 = f(x)$	$y_2 = 0,852x + 1,617$		
$y_1 = f(y_2)$	$y_1 = 0,119y_2 + 0,509$		
Доверительные зоны линейной регрессии $\Delta_{y/x}$	$y_1 = 0,165x + 0,462 \pm \Delta_{y/x}$ $y_2 = 0,852x + 1,617 \pm \Delta_{y/x}$ $y_1 = 0,119y_2 + 0,509 \pm \Delta_{y/x}$		

*Количество опытов (выборка) составляло 42.

$$y_1 = 0,165x + 0,462. \quad (5)$$

Аналогично вычисляем коэффициент линии регрессии $y_2 = f(x)$:

$$y_2 = a_2 x + b_2; \quad (6)$$

$$\begin{cases} (\sum x)a_2 + nb_2 = \sum y_2, & a_2 = 0,852; \\ (\sum x^2)a_2 + (\sum x)b_2 = \sum xy_2, & b_2 = 1,617. \end{cases} \quad (7)$$

Уравнение (6) примет вид

$$y_2 = 0,852x + 1,617. \quad (8)$$

В соответствии с (5) и (8) строятся расчетные линии регрессии (рисунок, *a*, *б*). Решив эти уравнения, находим корреляционную зависимость функции $y_1 = f(y_2)$:

$$\begin{cases} y_1 = 0,165x + 0,462, \\ y_2 = 0,852x + 1,617; \\ y_1 = 0,119y_2 + 0,509 \end{cases} \quad (9)$$

Расчетная линия регрессии показана на рисунке, *в*. Из графиков следует, что параметры y_1 и y_2 (результаты соответственно натурных и лабораторных испытаний) взаимно коррелируются.

С целью определения доверительной зоны линейной регрессии используем формулу из [8]

$$\Delta_{y/x} = t\sigma_{y/x}, \quad (10)$$

где $\Delta_{y/x}$ — линейное отклонение экспериментальной точки \tilde{y}_i от соответствующей точки y_i на линии регрессии.



рессии; t — номинальное отклонение;
 $\sigma_{y/x} = \sqrt{\frac{\sum (y_i - \tilde{y})^2}{n-2}}$ — стандартное отклонение.

Обработка результатов экспериментов (см. табл. 3) согласно изложенной методике реализована на ЭВМ с помощью специальных программ. Из приведенных графиков, построенных на основании уравнений (5), (8) и (9), вытекает взаимная корреляция параметров y_1 и y_2 . Доверительные зоны отражают границы — эллипсы корреляционных полей. Основные описательные статистики приведены в табл. 4.

Изложенные результаты позволяют утверждать, что комплекс экспериментов с использованием растворов NaOH может быть определяющим и для промышленных щелоков. Этот фактор подчеркивает правомерность применения гидроксида натрия в качестве модельной среды при исследовании коррозии

The paper gives the results of comparative corrosion testing of chromium-nickel deposited metal in alkali solutions. Correlation and regression analyses have been performed, that allow studying the connection between the input (δ -ferrite in welds) and output (metal corrosion rate) parameters.

сварочных материалов, работающих в щелочных средах, применяемых в ЦБП.

1. Смит К. Взрыв варочного котла непрерывного действия // Pulp and Paper. — 1981. — № 10. — Р. 66–69.
2. Singbeil D., Garner A. Stress corrosion cracking of Kraft continuous digesters // Intern. congr. met. corros. (Toronto, June 3–7, 1984). — Ottawa, 1984. — 1. — Р. 437–443.
3. Chakrapani D. G., Czyzewski. Pulp digester cracking afflicts a variety of alloys // Ibid. — 2.1.
4. Mueller D. A. Corrosion studies of carbon steel in alkaline pulping liquors by potentialtime an polarization — gurvo re-teds // TAPPI. — 1967. — 40, № 3. — Р. 139–140.
5. Школьников Е. В., Ананьева Г. Ф., Смирнов В. Д. Как снизить коррозию варочных котлов // Бум. пром-сть. — 1988. — № 12. — С. 32–34.
6. Колемаев В. А., Староверов О. В., Турундаевский В. Б. Теория вероятностей и математическая статистика. — М.: Выш. шк., 1997. — 400 с.
7. Румшинский Л. З. Математическая обработка результатов экспериментов. — М.: Наука, 1971. — 192 с.
8. Лакин Г. Ф. Биометрия. — М.: Выш. шк., 1983. — 343 с.

Поступила в редакцию 27.11.2000